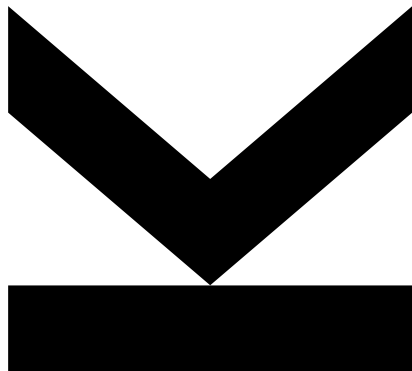


GENETISCHE DIAGNOSTIK IN DER NEUROPÄDIATRIE



Univ. Doz. DDr. Denisa Weis

Institut für Medizinische Genetik
Kepler Universitätsklinikum, Linz



Themen

Syndromologische Diagnostik

Konventionelle Zytogenetik

Molekulare Zytogenetik (FISH)

SNP Array

MLPA

Sequenzierung (Sanger, WES, WGS)

Forschungsinitiativen

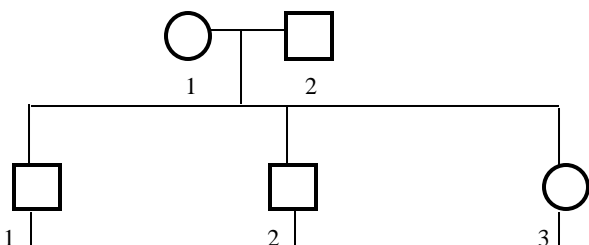
Genetische Diagnostik – oft eine diagnostische Odyssee

Patient Journey through diagnosis



Langer Weg zur Diagnose

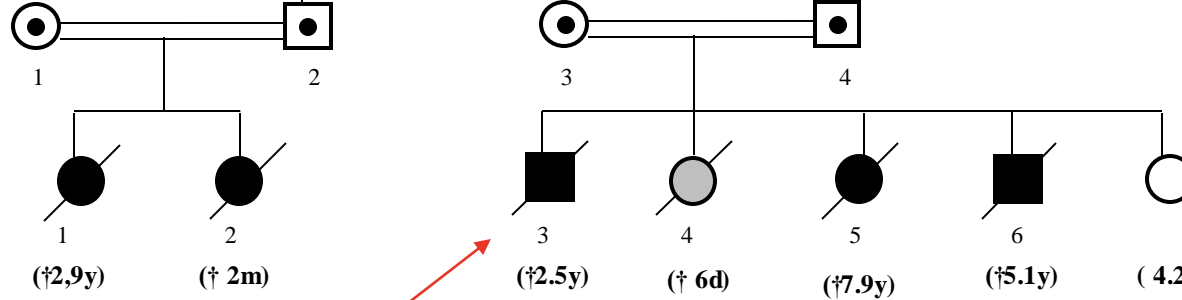
I.



II.

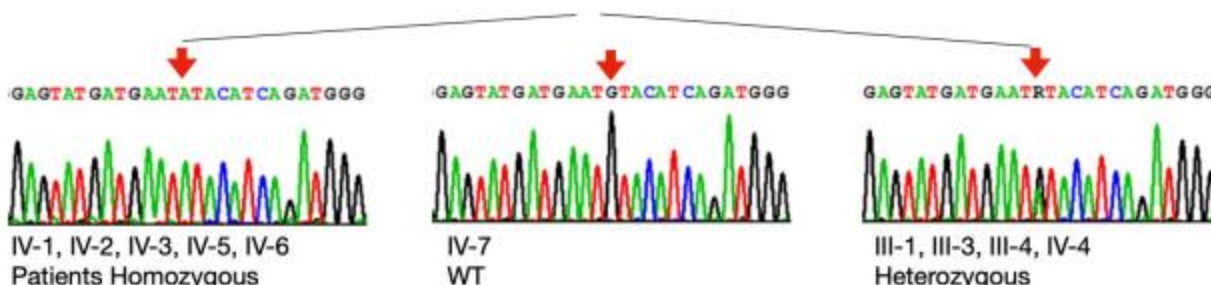


III.



IV.

Patient 1 Patient 2 Patient 3 Patient 4 Patient 5 Patient 6



Patient 1



Patient 3



Patient 4



Patient 5



SEL1L c.422G>A; p.Cys141Tyr

Suspicious genetic disorder
WES: Patient 3, 5 and parents

Distinct homozygous variants detected in each affected

47,134

62,006

Distinct heterozygous variants detected in each carrier

5,580 Recessive inheritance,
100% penetrance

241 Novel/Very Rare Variants
(MAF<0.001)

17 Predicted Deleterious Variants

● Prioritizing

Increasing Stringency

2 Homozygous

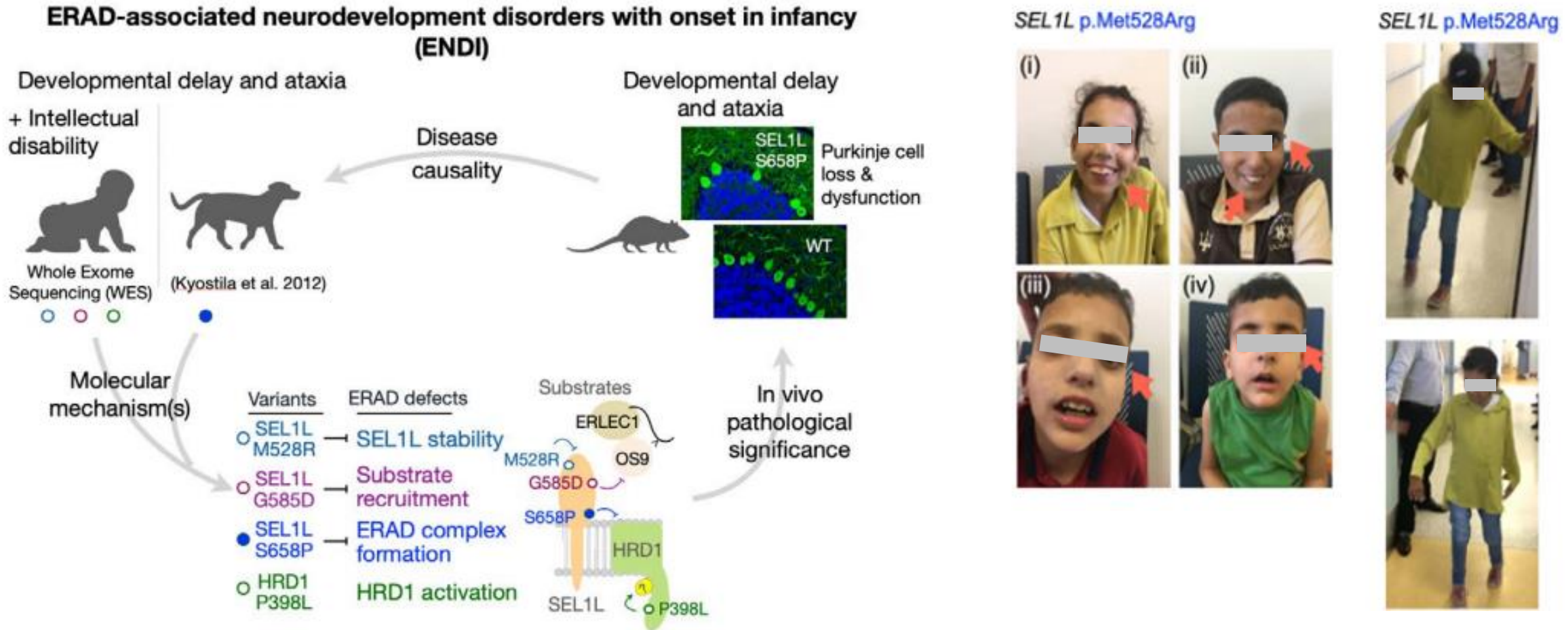
Chr14:

g.81.972.504C>T,

ENST00000336735.4:c.422G>A,

ENSP00000337053.4:p.Cys141Tyr (p.C141Y, codons tGt>tAt) in exon 4/21

GeneMatcher - ENDI



Hypomorphic variants of *SEL1L-HRD1* ER-associated degradation are associated with neurodevelopmental disorders

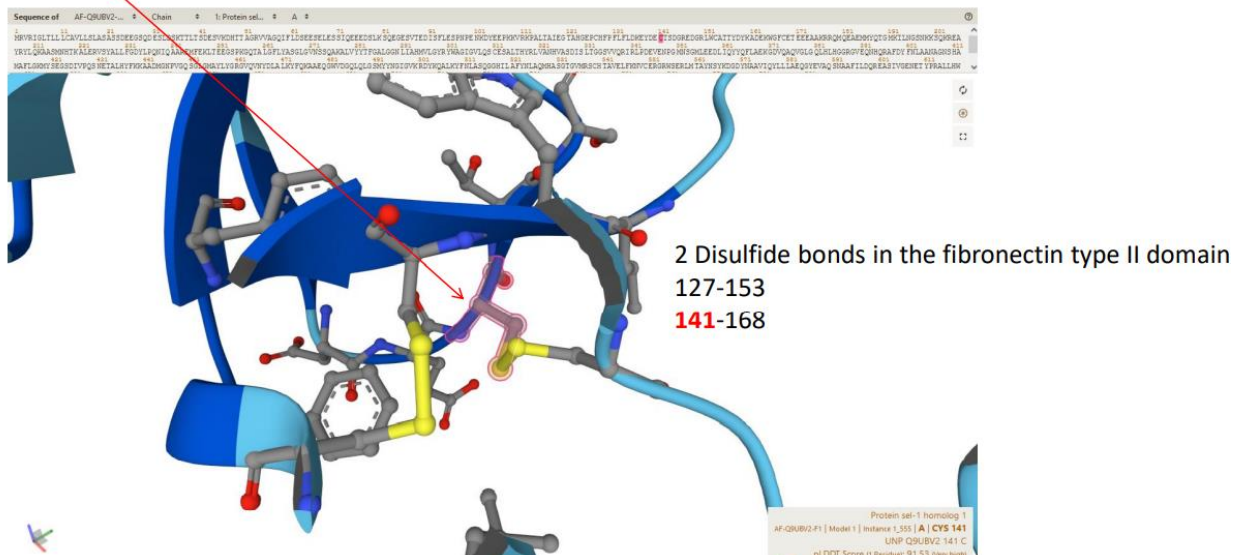
Huilun H. Wang, ... , Fowzan S. Alkuraya, Ling Qi

ER-associated degradation-associated neurodevelopmental disorder with onset in infancy is associated with hypomorphic variants of *SEL1L* and *HRD1*.

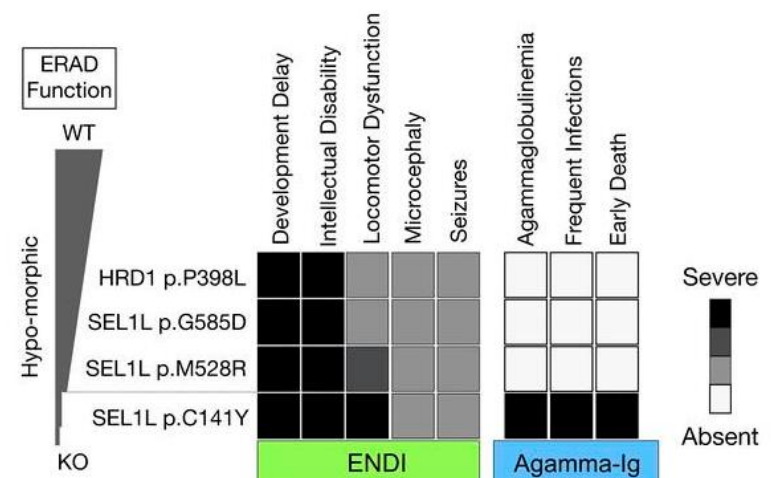
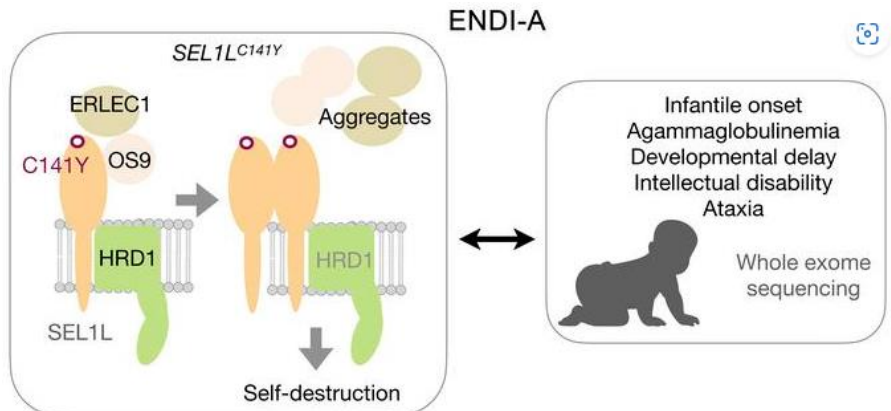
ENDI-A

SEL1L protein

Cysteine at position 141 is required for the formation of a conserved **disulfide bond** in the **fibronectin type II domain**



<https://alphafold.ebi.ac.uk/entry/Q9UBV2>



Biallelic Cys141Tyr variant of *SEL1L* is associated with neurodevelopmental disorders, agammaglobulinemia, and premature death

Denisa Weis, ... , Johannes A. Mayr, Ling Qi

Published November 9, 2023

Citation Information: *J Clin Invest.* 2024;134(2):e170882. <https://doi.org/10.1172/JCI170882>.

Syndromsuche

Symptome

Muskuläre Hypotonie

Muscular dystrophy

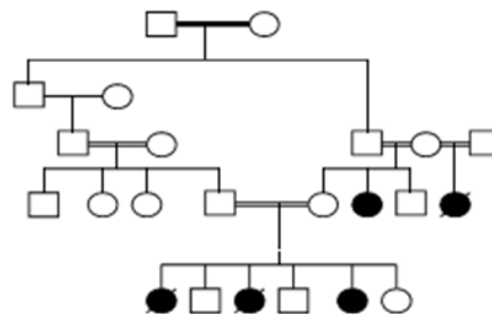
Scapula allata

Developmental delay

Synophrys

CK-ämie (elevation of creatine kinase)

Stammbaum



Syndromologische Databanken

Symptome: www.symptomsuche.at

www.simulconsult.com

<https://www.omim.org/>

www.possumcore.com

faziale Dysmorphie: www.face2gene.com

www.gestaltmacher.com

<http://www.orpha.net/consor/cgi-bin/index.php>



Johannes, 8 J., Kleinwuchs (10 P), faziale Dysmorphie, Spitzengang, harte Muskel, Lordose, Brachydaktylie, normaler Intelekt

OMIM: Brachydactyly: 633 Gene
Possumweb: 2-3 Merkmale

Selected Traits

Brachydactyly Ordinary

Muscular build HP:0009042 Ordinary

Save Search

Share this saved search with others - WARNING - can be seen by all POSSUMweb

6 matching syndromes found

Score	Id	OMIM	Name
2	7158	617157	Albright hereditary osteodystrophy-like syndrome, PRMT7 mutations ↗
2	3640	230740	GAPO syndrome ↗
2	4939	233270	GOMBO syndrome ↗
2	3883	139210	Myhre syndrome ↗
2	3043	277600	Weill-Marchesani syndrome ↗
2	3809	233430	XY gonadal dysgenesis with associated anomalies ↗

Mutation in *SMAD4* Gen

c.1498A>G
p.Ile500Val **59%**

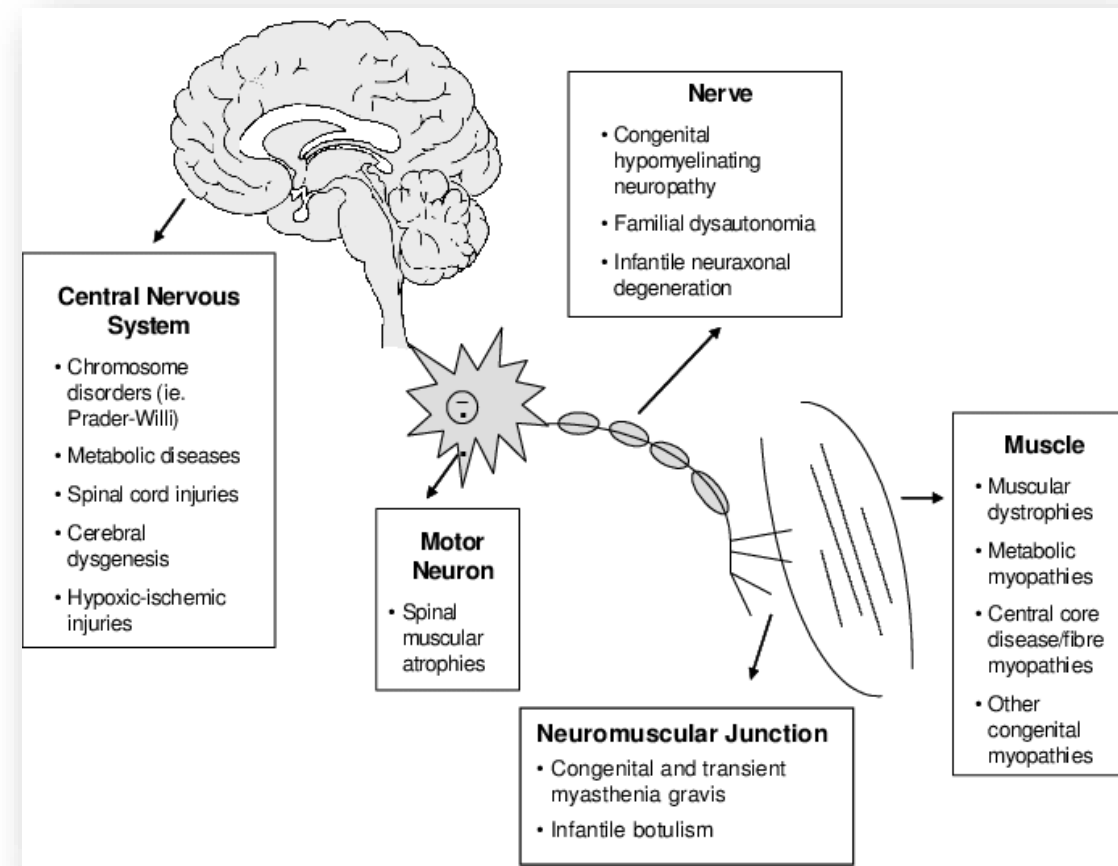


Entwicklungsneurologie und Neuropädiatrie

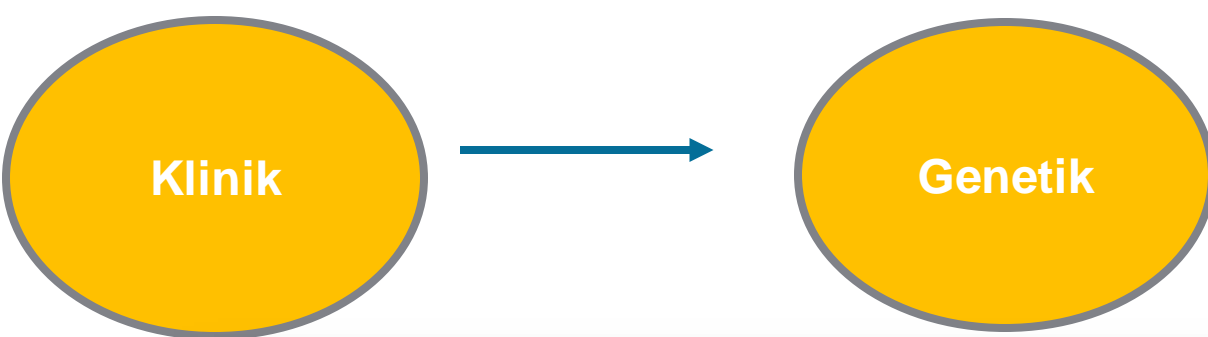
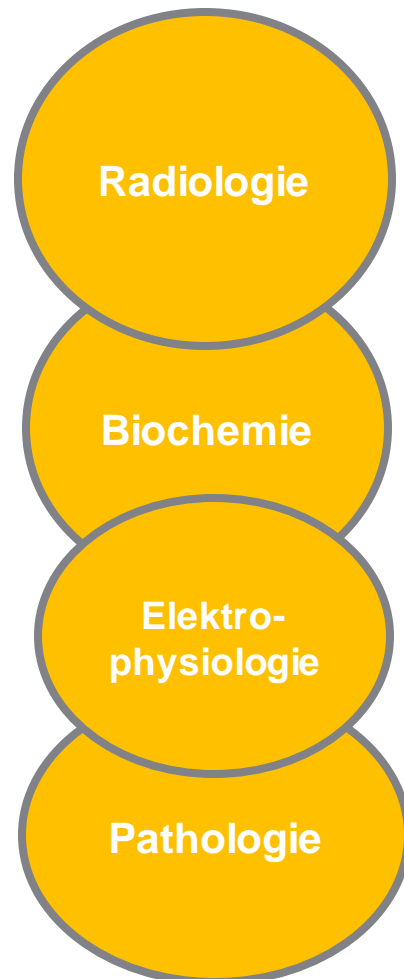
- breites Spektrum der Erkrankungen (Developmental delay 1950 Gene, Hypotonia 1843 Gene)

Neuromuskuläre Erkrankungen 955 Gene

- 535 verschiedene Gene,
davon 56 sind mitochondrial
- 69 mappierte Loci warten
auf die Identifikation



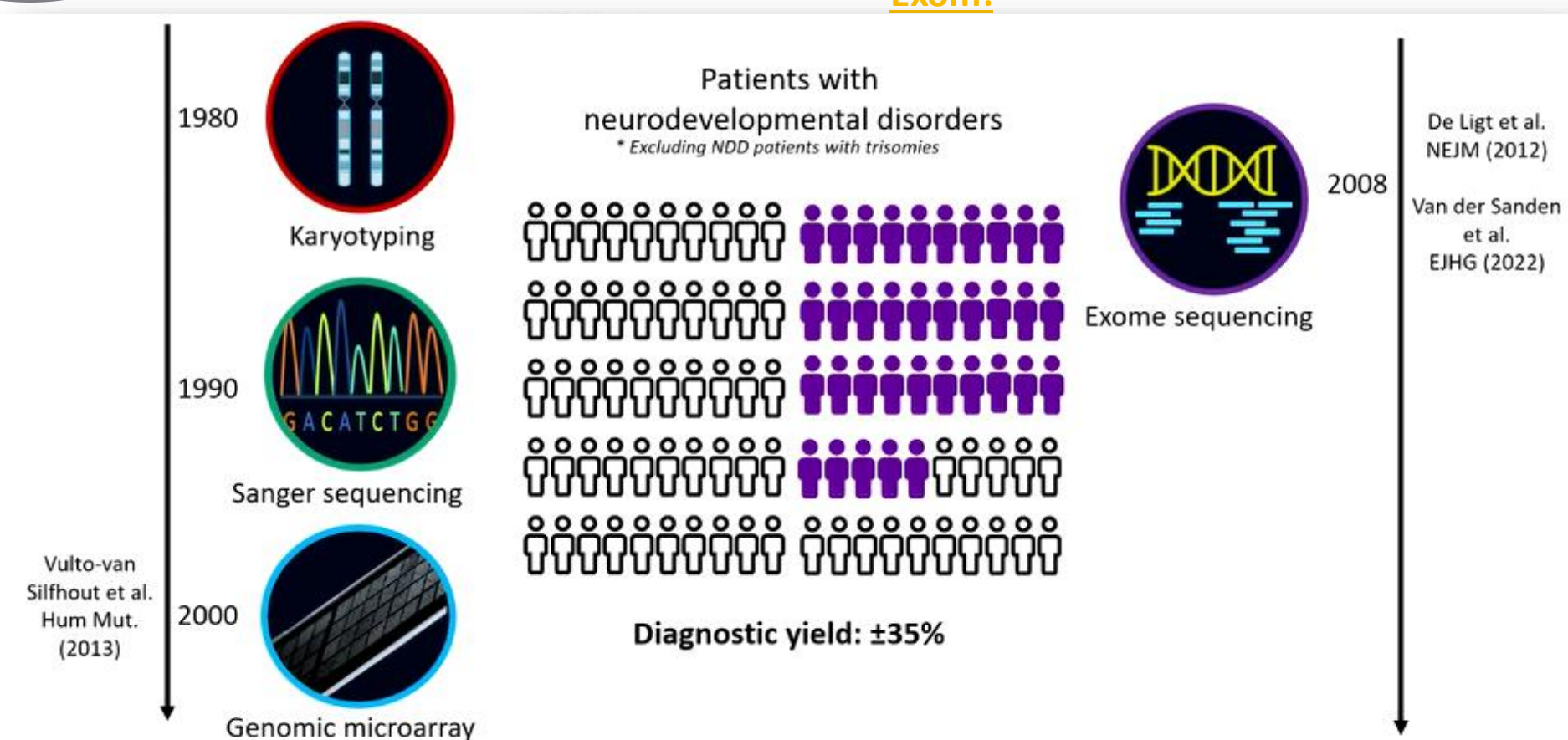
Gemeinsamer diagnostische Zugang



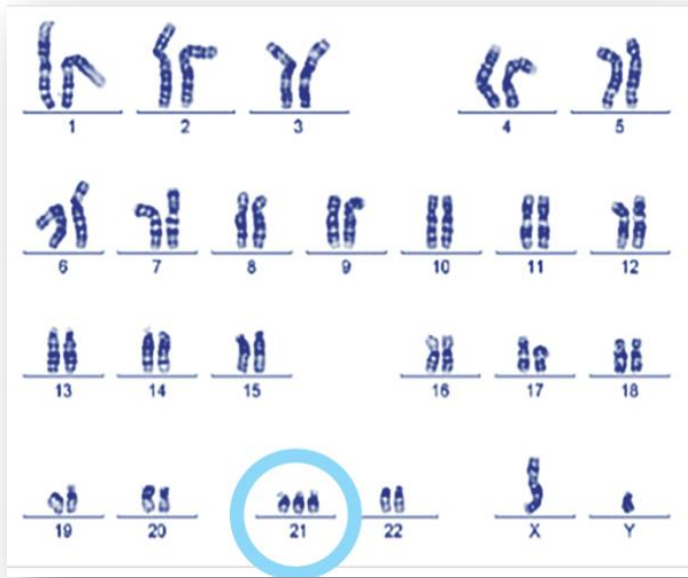
Genom:

>3 Milliarden Nukleotide (>3000 Mb)

Exom:



Konventionelle Zytogenetik - Karyogramm

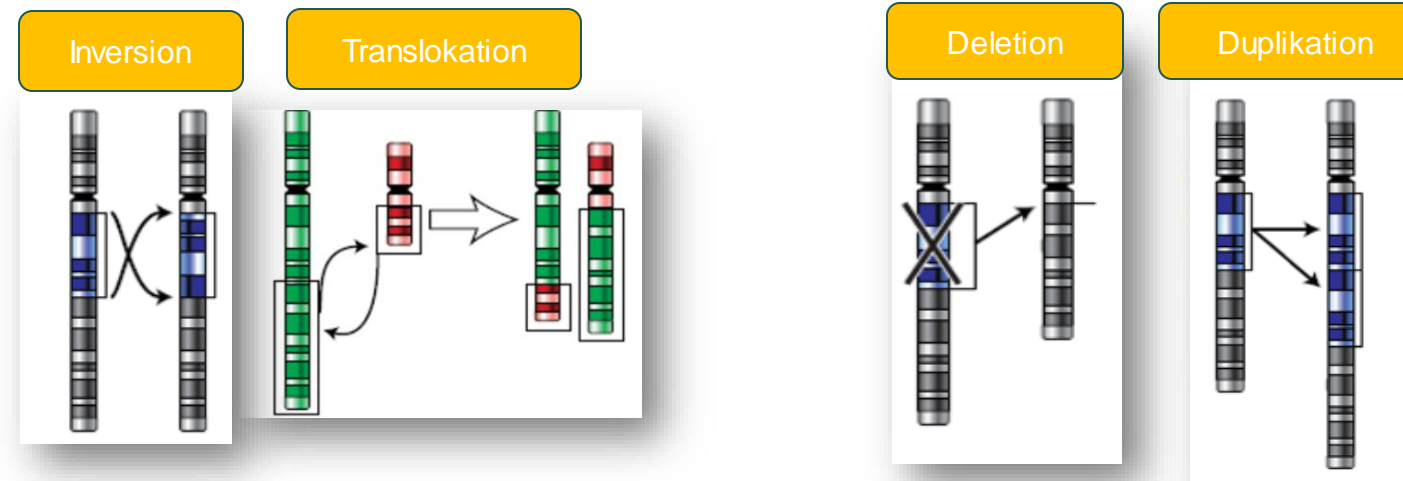


Kann:

Aneuploidie (Trisomien) erkennen

balancierte Veränderung in der Größe von **5-10 Mb** entdecken

unbalancierte Veränderungen genauso **in der Größe von 5-10 Mb** entdecken



Molekulare Zytogenetik - FISH

Sonden auf den Objektträger applizieren



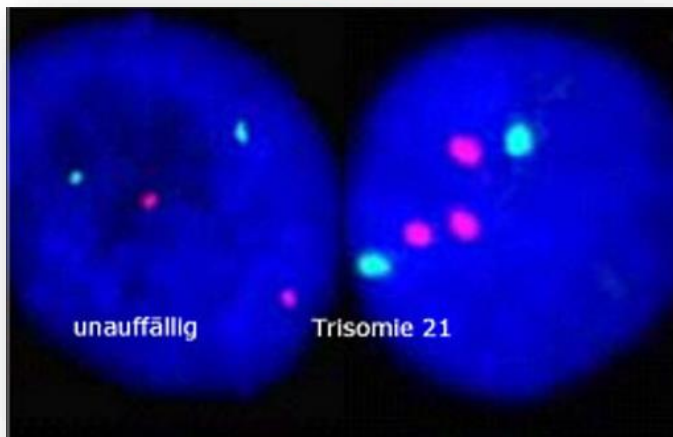
Denaturierung + Hybridisierung



Waschen + Gegenfärbung (DAPI)



Fluoreszenzmikroskopie



Kann:

Mikroskopisch sichtbare Aberrationen (konventionelle Zytogenetik)

Trisomien (T21, T18, T13) pränatal und postnatal

Cri-du-Chat-Syndrom del(5)(p) 1:50.000

Mikroskopisch nicht sichtbare Aberrationen (Mikrodeletionen/duplikationen):

Nicht mittels konventioneller Zytogenetik nachweisbar > FISH, SNP Array verwenden

DiGeorge-Syndrom del(22)(q11.22) 1:5.000 häufigste Mikrodeletion!

Williams-Beuren-Syndrom del(7)(q11.23) 1:20.000

Prader-Willi-Syndrom (väterliche Deletion 15q11.2q12)

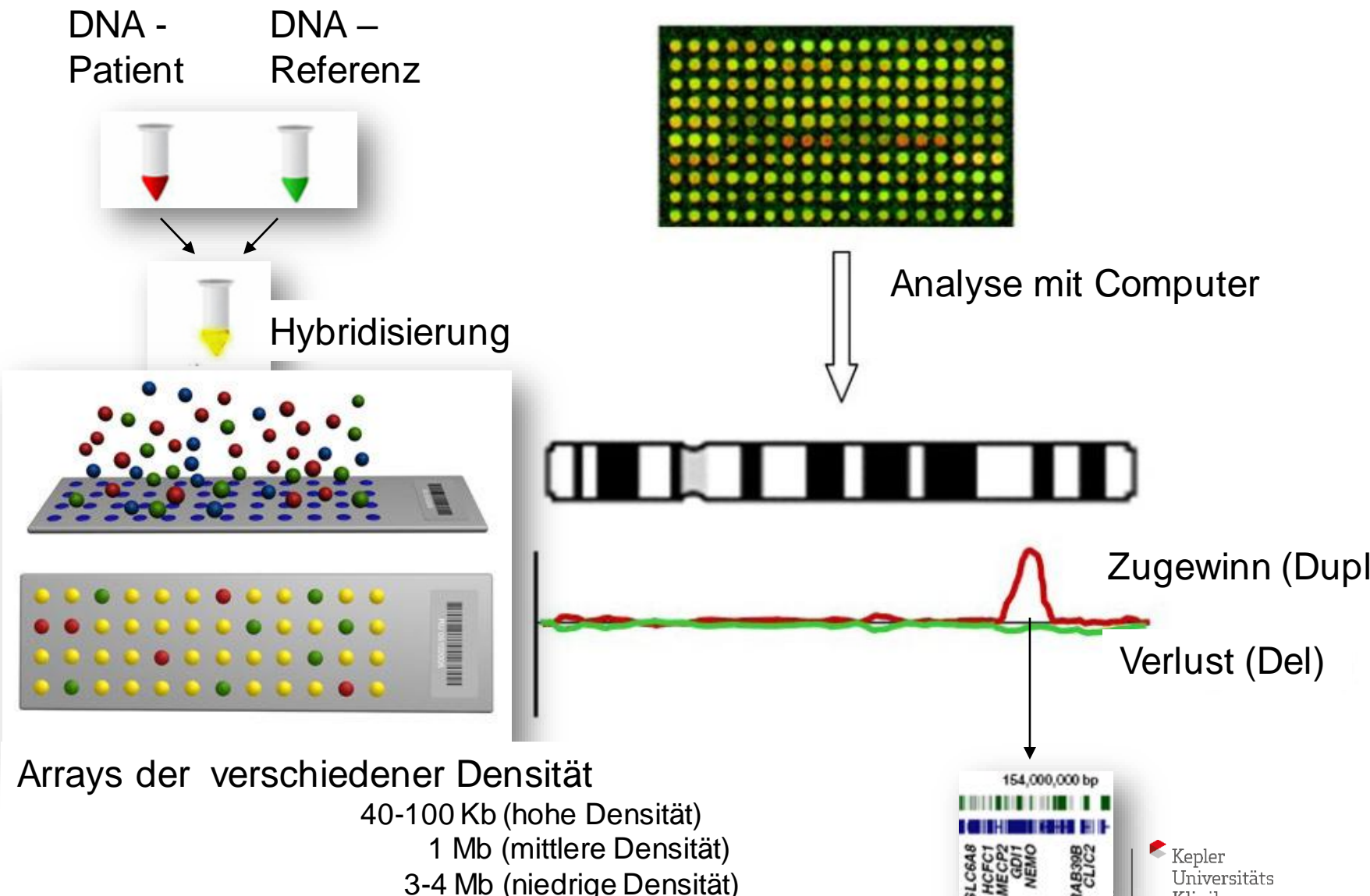
Angelman-Syndrom (mütterliche Deletion 15q11.2q12) - 1:20.000

nun mehr methylierungspezif. MLPA

SNP Array

Kann:

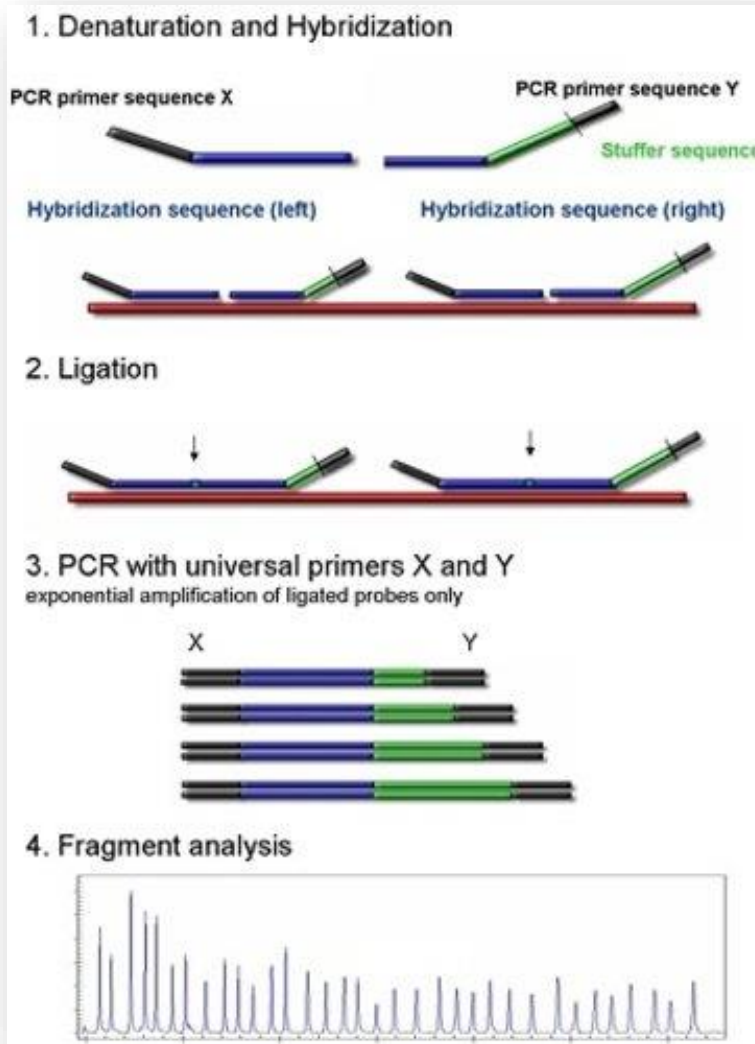
- das **gesamte Genom** auf **Kopienzahlveränderungen** (d.h. Deletionen oder Zugewinne) untersuchen
- **Zygotie-Status** ermitteln (z.B. bei uniparentaler Disomie)
- Bis zu <50 kb kleine Deletionen /Dupl. entdecken



Kann nicht:

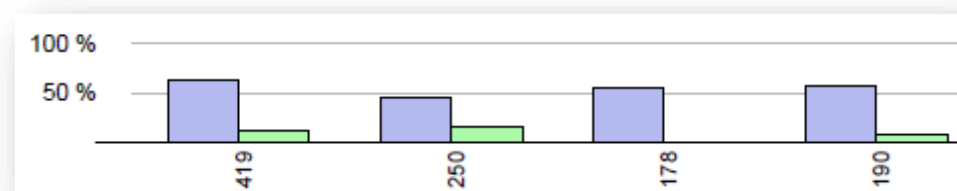
balancierte Translokationen detektieren

Molekulargenetik – MLPA (Multiplex Ligation Dependent Probe Amplification)



Kann:

- Kopienzahlveränderungen einzelner oder mehrerer Exone (CNV) nachweisen
- Mittels Methylierungsspezifische MLPA Deletionen/Duplikation sowie methylierte Bereiche untersuchen
- Wird für **Duchenne/Becker, SMA, CMT/HNPP** verwendet
- die **Methylierung** von Genen untersuchen; ein Beispiel ist das **SNRPN-Gen**, welches paternal exprimiert wird (imprinting)

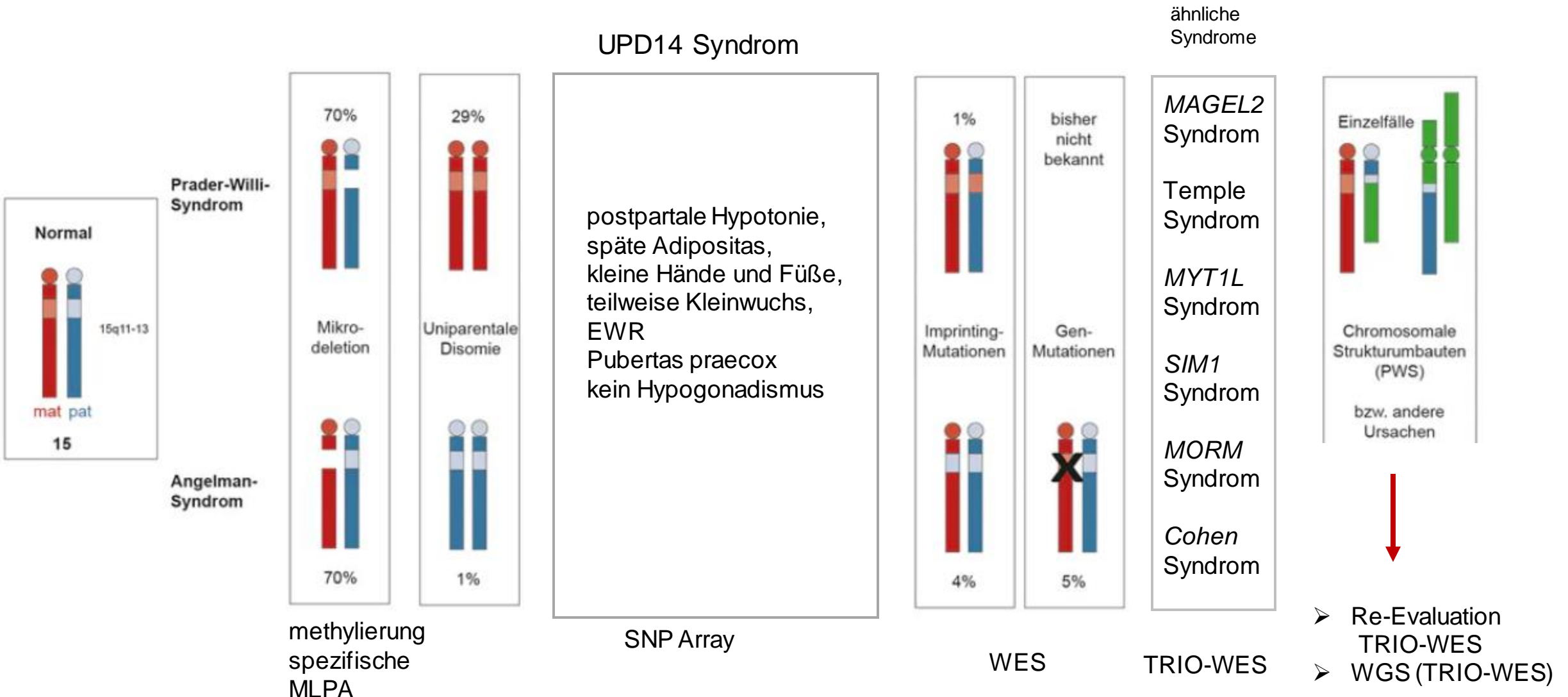


Violett = Kontrollperson

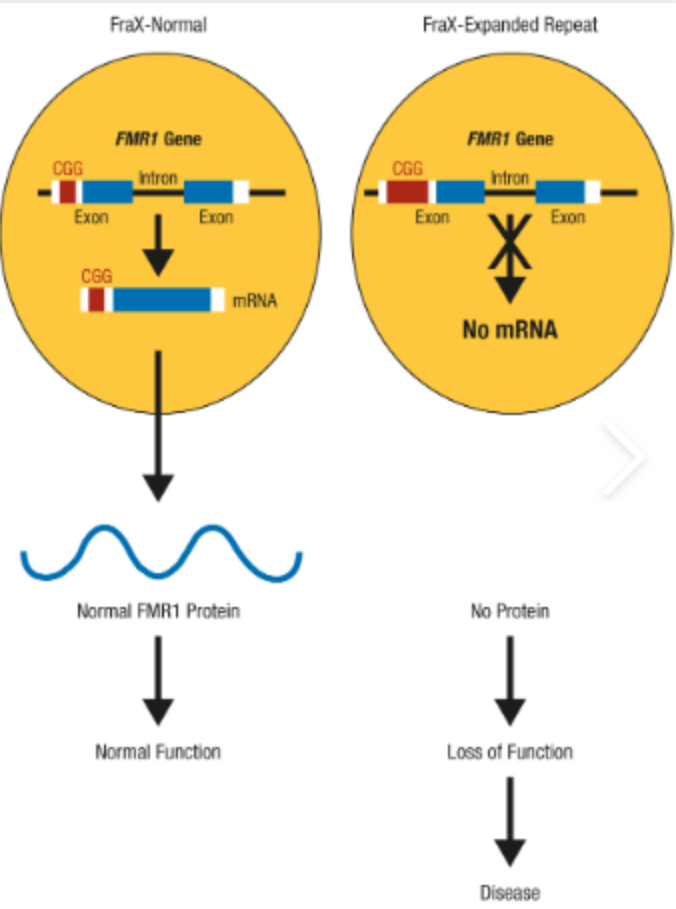
Grün = Patient mit Angelman

www.mlpa.com, Dr. G. Webersinke

Komplexe Diagnostik: SNP Array, MLPA, Sequenzierung, WES, TRIO-WES



Repeat-Expansionserkrankungen



Kann:

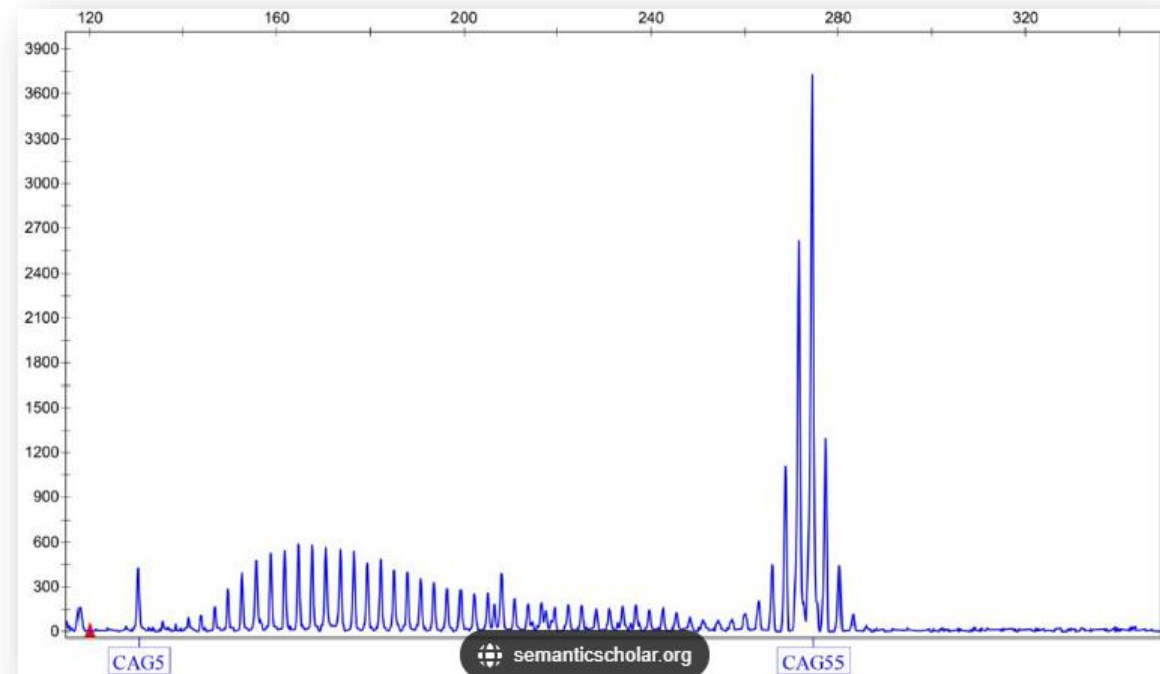
Fragiles X Syndrom (CGG Repeats im *FMR1*-Gen, Krankheit bricht ab 200 R. auf)

Friedreich Ataxie (homozygote GAA Tripletexpansion im *FXN*-Gen, ab 82 R. auf)

Myotone Dystrophie I (CTG Repeatexpansion im *DMPK*-Gen, ab 51 R.)

Kennedy Erkrankung (CAG Repeatexpansion im *AR*-Gen, ab 44 R.)

ALS (GGGGCC hexanucleotide repeat expansion in *C9orf72*-Gen) diagnostizieren

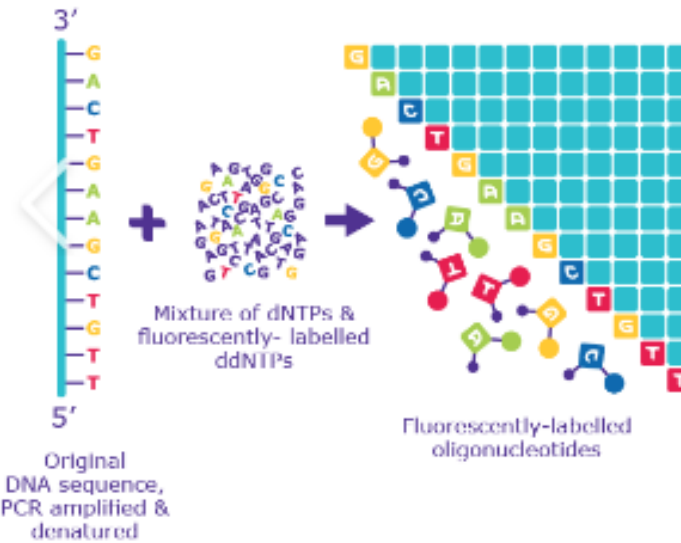


Sanger Sequenzierung

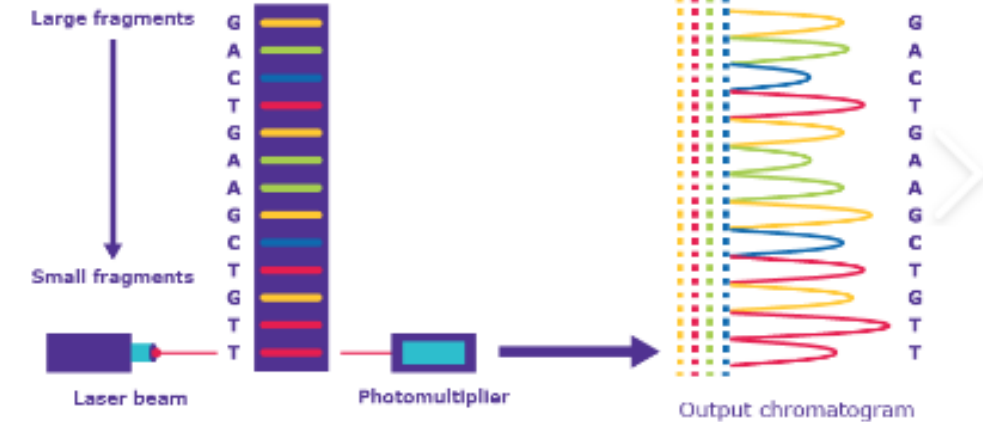


Fred Sanger
1918-2013
Nobelpreis 1980

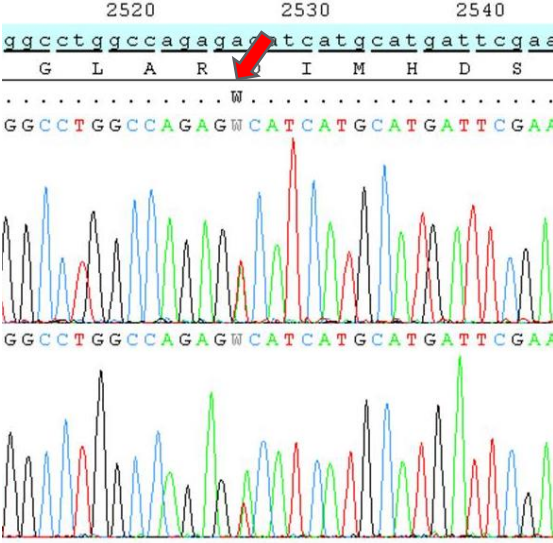
1 PCR with fluorescent, chain-terminating ddNTPs



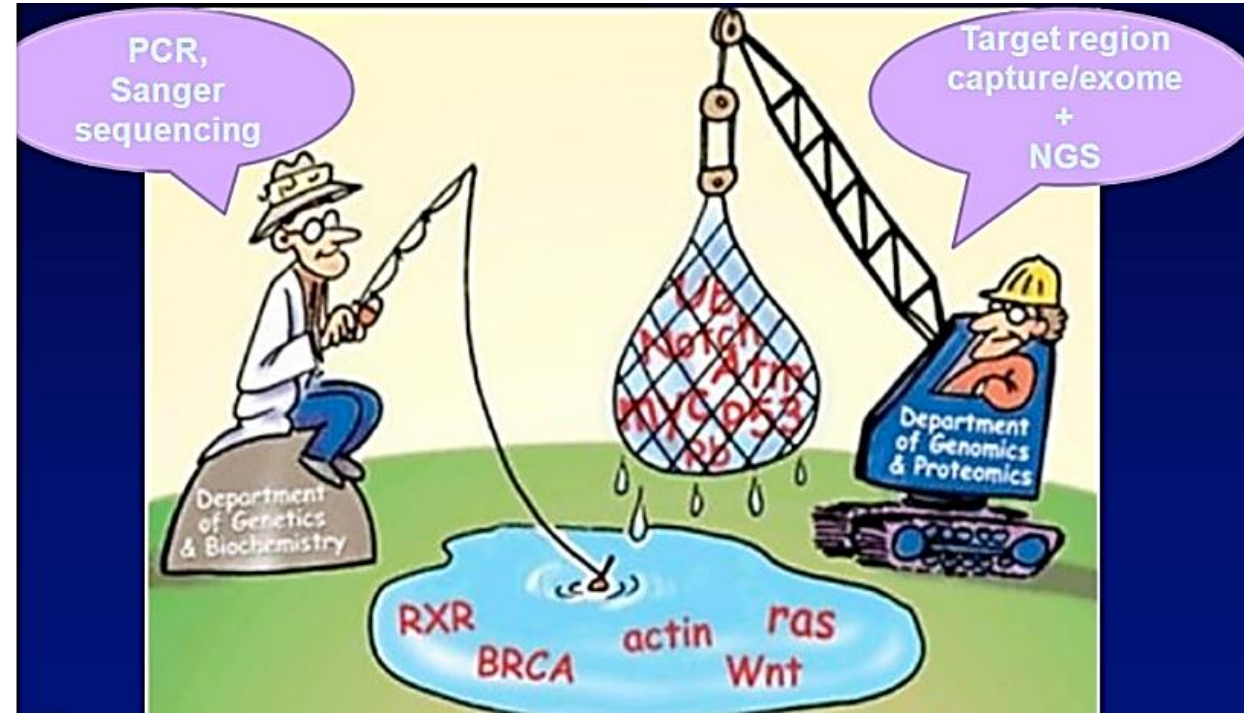
2 Size separation by capillary gel electrophoresis



3 Laser excitation & detection by sequencing machine



- Ein Gen
- Ein Exon
- Wenige Exone
- Gezielte Mutationen



Genpanel

~2-200 Gene

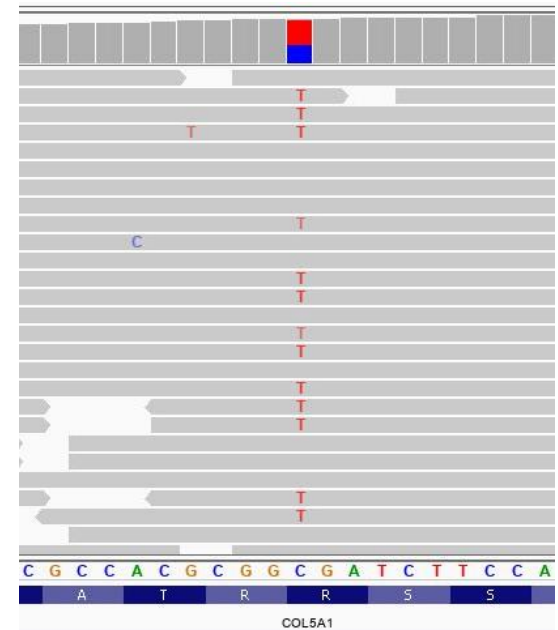
Mendeliom / klinische Exom (CES)

~4 000-6 000 Gene

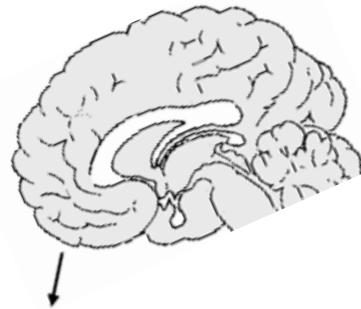
Whole Exom (WES)

~20 000 Gene

nur die kodierenden Regionen (Exons) + flankierende Sequenz



- Viele Gene parallel
- Whole Exome
- Whole Genome



ZNS-Diagnostik mittels WES mit HPO-Terms

<https://hpo.jax.org>

Walker-Warburg-Syndrome

WES; neonatal hypotonia HPO: 0001319, abnormality of eye HPO: 0000478

POMT1, POMGNT1, FKRP, FAKTN, POMT2, LARGE1, ISPD, POMK, RXYLT1, B3GALNT2, B4GAT1, GMPPB, DAG1, POMGNT2



Arthrogryposis

WES; arthrogryposis HPO: 0002804, talipes equinovarus HPO: 0001763

MYH3, GLE1, TPM2, TNNT3, TNNI2, ACTA1, ECEL1, PIEZO2, MYBPC1

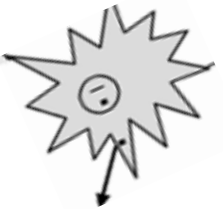
Fetal Akinesia

WES; fetal akinesia sequence HPO: 0001989

DOK7, MUSK, RAPSN, NUP88, MYOD1, GLE1, CNTNAP1, ADCY6, ADGRG6, GLDN, MYBPC1(11)



Motoneuron Erkrankung



Infantile SMA + Diff. Dg **1. Schritt:** **SMN1/SMN2 – MLPA**

2. Schritt: *WES; skeletal muscle atrophy* HPO: 0003202

*IGHMBP2, PLEKHG5, ASAHI, BICD2, UBA1, TRPV4,
VRK1, SIGMAR1, ASCC1, DYNC1H1*

Adulte SMA + Diff. Dg **SMN1/SMN2 – MLPA**

WES; skeletal muscle atrophy HPO: 0003202

*GARS1, BSCL2, CHCHD10, DCTN1, DNAJB2, FBXO38,
HSPB1, HSPB8, SLC5A7, REEP1, VAPB, HSPB3, AARS1, ATP7A*

dHMN

WES; distal lower limb muscle weakness HPO: 0009053

*IGHMBP2, HSPB1, BICD2, BSCL2, HSPB3, HSPB8, DCTN1,
GARS1, TRPV4, DNAJB2, FBXO38, REEP1, SIGMAR1, SLC5A7, PLEKHG5*

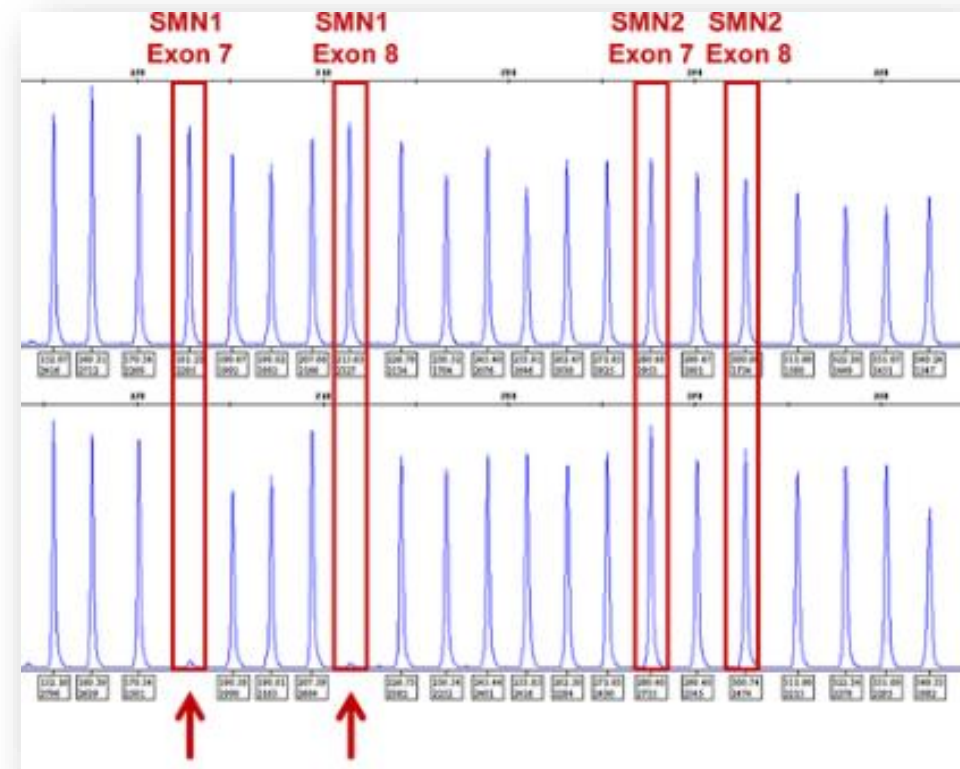
Kennedy Syndrome **1. Schritt:** AR-Repeat-Analyse

ALS 1. Schritt C9orf72 – Repeat Analyse

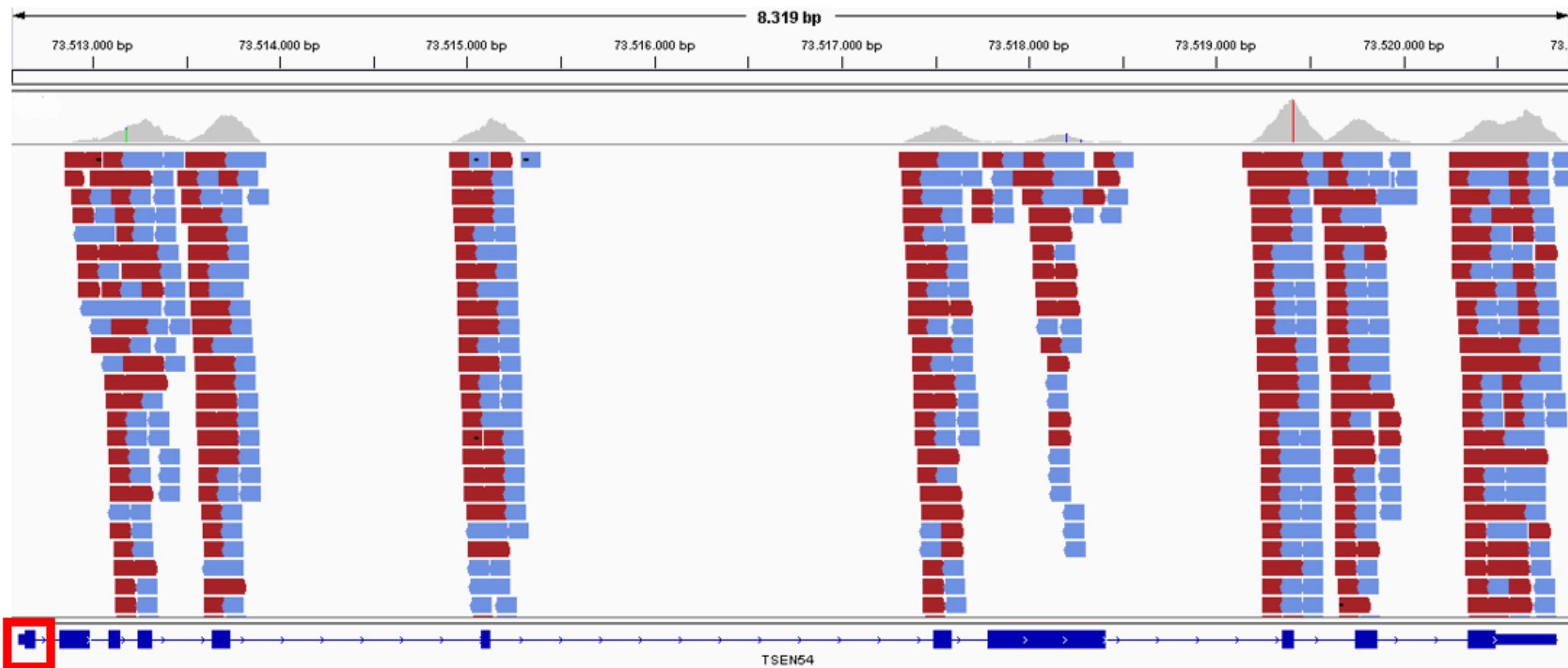
2. Schritt: *WES; SOD1, CHMP2B, CHCHD10, FUS, OPTN, TARDBP,
PFN1, UBQLN2, VAPB, ANG, VCP, FIG4, ALS2, MATR3, TUBA4A*

Spinale Paraparesis (AR / AD)

WES; paraparesis HPO:0002385



Abdeckung von Bereichen in der Sequenzierung = Coverage



WES – Analyse: Datenauswertung

40 000-60 000
VARIANTEN
IN WES

SNPs, small Indels

VARIANTEN
FILTERING

Lokalisation (Exon <-> Intron)
Synonyme <-> Non-synonyme Varianten
In Krankheits-assoziierte Gene<-> unbekannte Gene
In silico Prediktion des Varianteneffekts
Frequenz in Datenbanken für allgemeine Bevölkerung
<1% für autosomal rezessiv
<0,1-0,5% für autosomal dominant

50-150
VARIANTEN

PATHOGENE V.
VUS

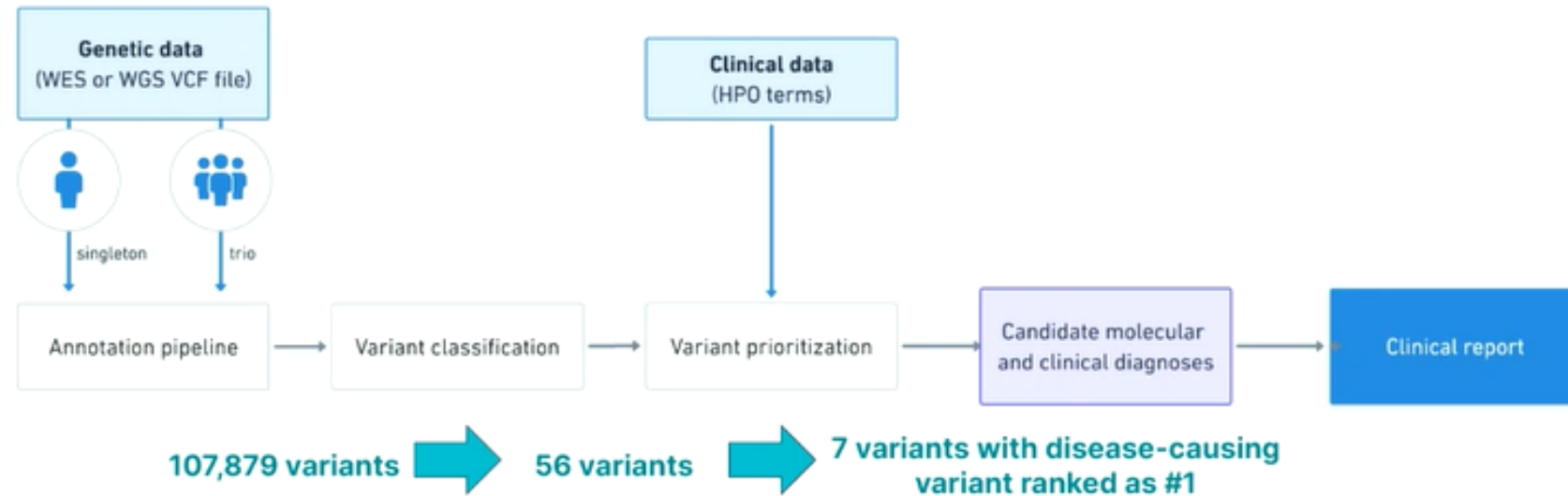
Strong Benign Supporting Supporting Moderate Strong Very strong
Pathogenic

Population data	MAF is too high for disorder BA1/BS1 OR observation in controls inconsistent with disease penetrance BS2			Absent in population databases PM2	Prevalence in affecteds statistically increased over controls PS4	
Computational and predictive data		Multiple lines of computational evidence suggest no impact on gene/gene product BP4 Missense in gene where only truncating cause disease BP1 Silent variant with non predicted splice impact BP7 In-frame indels in repeat w/out known function BP3	Multiple lines of computational evidence support a deleterious effect on the gene/gene product PP3	Novel missense change at an amino acid residue where a different pathogenic missense change has been seen before PM5 Protein length changing variant PM4	Same amino acid change as an established pathogenic variant PS1	Predicted null variant in a gene where LOF is a known mechanism of disease PVS1
Functional data	Well-established functional studies show no deleterious effect BS3		Missense in gene with low rate of benign missense variants and path. missenses common PP2	Mutational hot spot or well-studied functional domain without benign variation PM1	Well-established functional studies show a deleterious effect PS3	
Segregation data	Nonsegregation with disease BS4		Cosegregation with disease in multiple affected family members PP1	Increased segregation data		
De novo data				De novo (without paternity & maternity confirmed) PM6	De novo (paternity and maternity confirmed) PS2	
Allelic data		Observed in <i>trans</i> with a dominant variant BP2 Observed in <i>cis</i> with a pathogenic variant BP2		For recessive disorders, detected in <i>trans</i> with a pathogenic variant PM3		
Other database		Reputable source w/out shared data = benign BP6	Reputable source = pathogenic PP5			
Other data		Found in case with an alternate cause BP5	Patient's phenotype or FH highly specific for gene PP4			

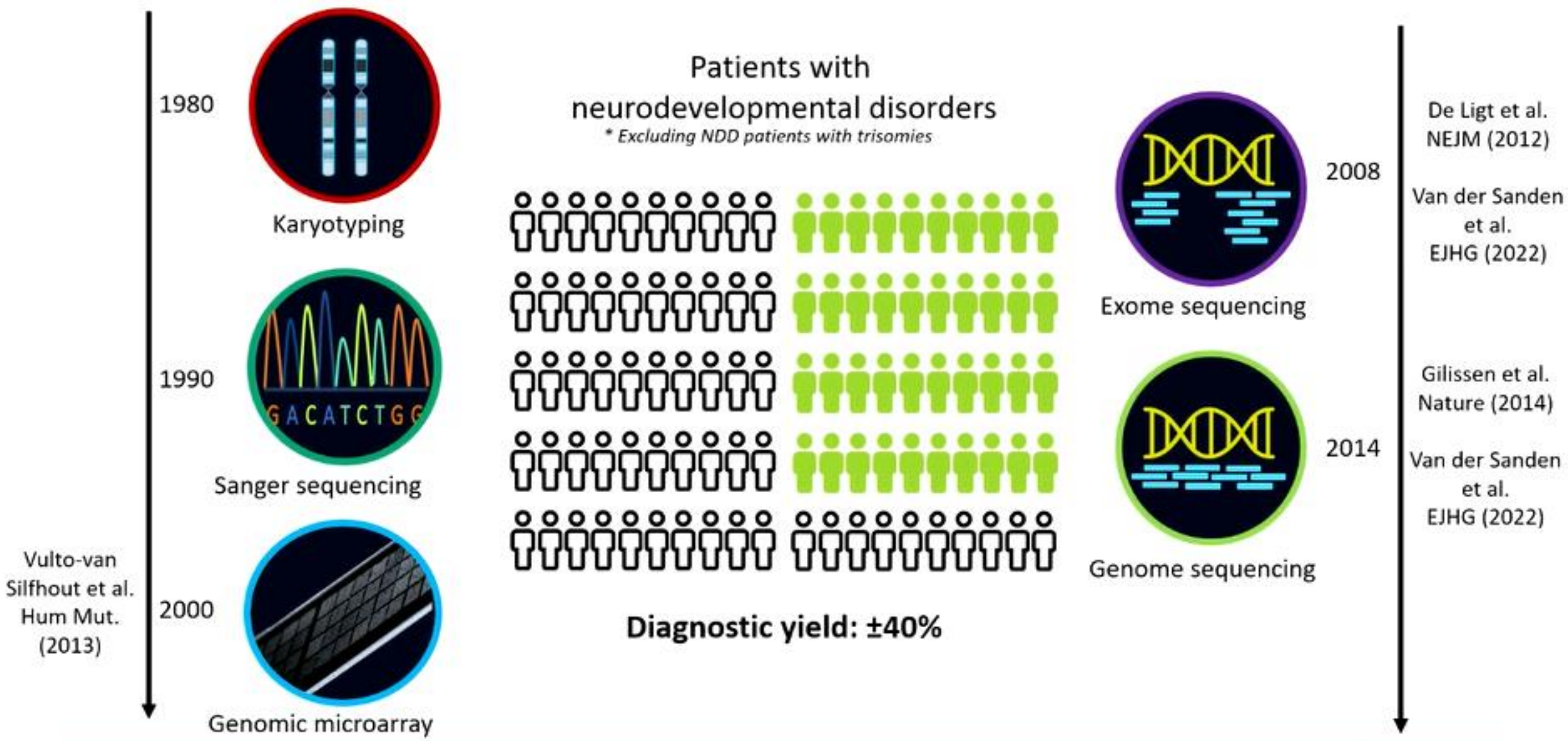
Warum Data-Reevaluation?

AI applications for variant interpretation: **Diagnostics**

Streamlining variant interpretation: AION workflow

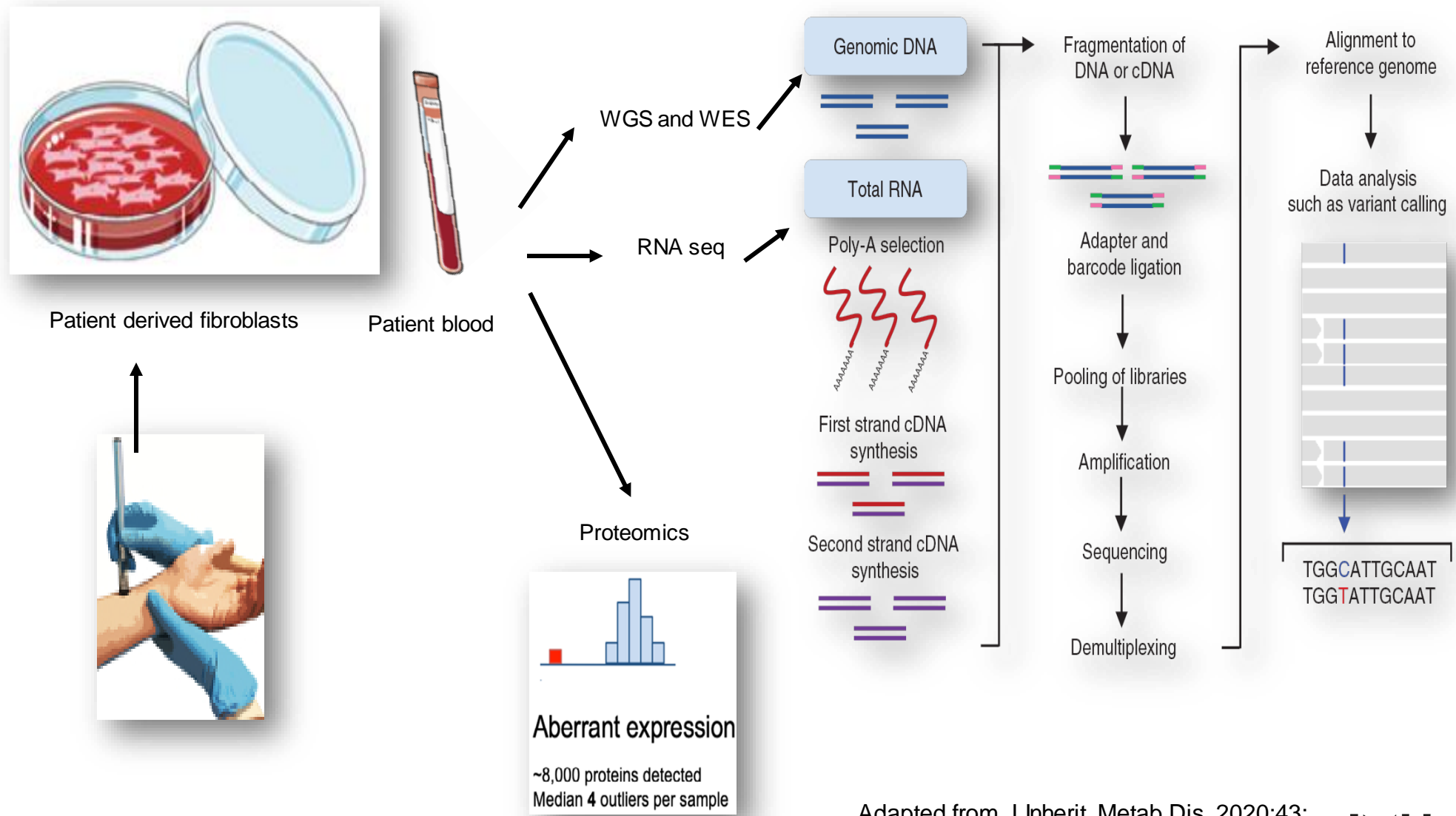


Warum nach WES noch WGS?



¹Van der Sanden et al. EJHG (2022);

Zukunft: Integrative Analyse Genvariationen, DNA Methylierung, Genexpression



Adapted from J Inherit Metab Dis. 2020;43: 25-35 and J Vis Exp. 2023; 125: 56146.

Welche genetische Methode soll man wählen?



Bestimmte Krankheiten
haben bekannte genetische
Veränderungen

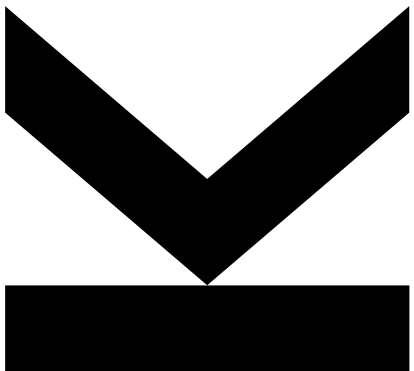
Chronologische Analyse

Genetiker fragen...

Methoden in der Diagnostik

	Was untersuchen wir?	Wann indizieren wir?
Karyogramm	Translokationen, Deletionen, Duplikationen >5-10 Mb, Mosaik (10-20%)	Entwicklungsstörung, ID, Hypotonie, Muskelschwäche, faziale Dysmorphie
SNParray (mol. Karyotyping)	Mikro-Deletionen und Duplikationen <50 kb (Exondeletion), UPD, Mosaik (> 20%)	- detto -
MLPA	1 und mehrere Gene, Methylierung, Mosaik (30-40%), UPD (methylspezif. MLPA)	SMA, PWS, Duchenne/Becker, Neuropathien, bestimmte Krankheiten
Sanger seq.	1 Gen, gezielte Mutation, Mosaik (20-30%)	bekannte Erkrankung
WES	20 000 Gene, SNVs, CNVs, Mosaik (5-10%)	Symptome mit HPO unbekannte Erkrankungen
WGS	Intronische Varianten, Regulationseinheiten, Mosaik (5-10%), Mikro-deletionen/Duplikationen	Forschung
Long read seq. Nanopore Seq.	Polymorphe Regionen, Methylationsanalysen, strukturelle Varianten, Gene mit Expansion/Repeats, RNA isoformen	Forschung, wenn WES negativ Gene mit Pseudogenen

Danke für Ihre Aufmerksamkeit



Denisa.weis@kepleruniklinikum.at
Ordination@praxis-weis.at



Some cases need long to be solved

The future might bring a solution

Wait and look out

Be patient, don't panic

Always look at the bright side of life

(Prof. Serge Weis)

